

Fahrnfähiger Lenker verursacht Unfall in Uster

Am Montagabend, 31. März 2025, verursachte der mutmasslich fahrnfähige Lenker eines Personenwagens eine Auffahrkollision. An den drei beteiligten Fahrzeugen entstand hoher Sachschaden.

Kurz nach 17.30 Uhr ging bei der Einsatzzentrale die Meldung ein, dass sich an der Pfäffikerstrasse ein Verkehrsunfall mit mehreren beteiligten Fahrzeugen ereignet hätte. Eine Polizeipatrouille der Stadtpolizei Uster rückte unverzüglich an die Unfallstelle aus.

Nach ersten Erkenntnissen kam es zu einer Auffahrkollision zwischen drei Personenwagen. Ein 38-jähriger Deutscher prallte mit seinem Fahrzeug gegen das Heck eines vor ihm stehenden Autos, welches wiederum in ein weiteres, in der Kolonne stehendes Fahrzeug, geschoben wurde. An allen Fahrzeugen entstand Sachschaden, verletzt wurde niemand. Aufgrund der Kollision war die Pfäffikerstrasse stadtauswärts blockiert, weshalb die Verkehrsgruppe der Feuerwehr Uster aufgeboten werden musste.

Bei der Unfallaufnahme kam zudem der Verdacht auf Fahrnfähigkeit des Lenkers auf. Die Weiterfahrt wurde dem Mann daher untersagt. Er muss sich nun vor der Untersuchungsbehörde wegen Widerhandlungen gegen das Strassenverkehrsgesetz verantworten.



STAPO Uster <https://www.polizei-schweiz.ch/fahrnfahiger-lenker-verursacht-unfall-in-uster-zh/>

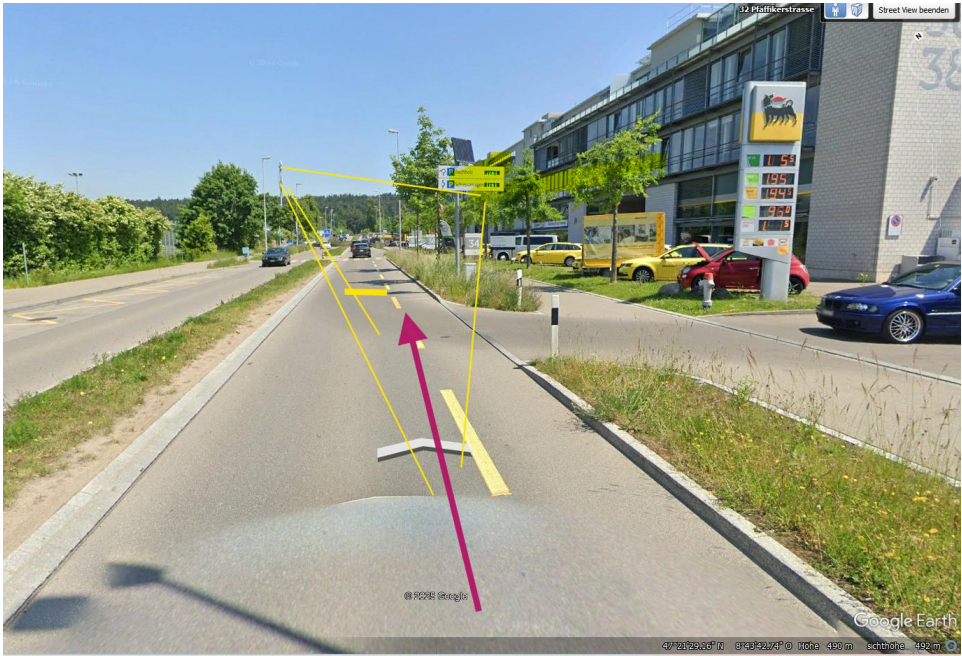
Elektrosmog im Unfallablauf

Unfallstrecke wie Polizeibild, vor dieser Passage war der Mann im gleichen Zustand ohne Probleme unterwegs, er dürfte auch die schwierige Situation des Bahnübergangs in Uster Zentrum bewältigt haben.

Ob sich der (weitgefasste) Verdacht auf Fahrnfähigkeit erhärtet hat und mit welchen Elementen er begründet ist, wird nicht öffentlich werden.



Gegenrichtung zeigt einen Sender-Doppelstandort voraus, rechts reflektierende, lange Fassade

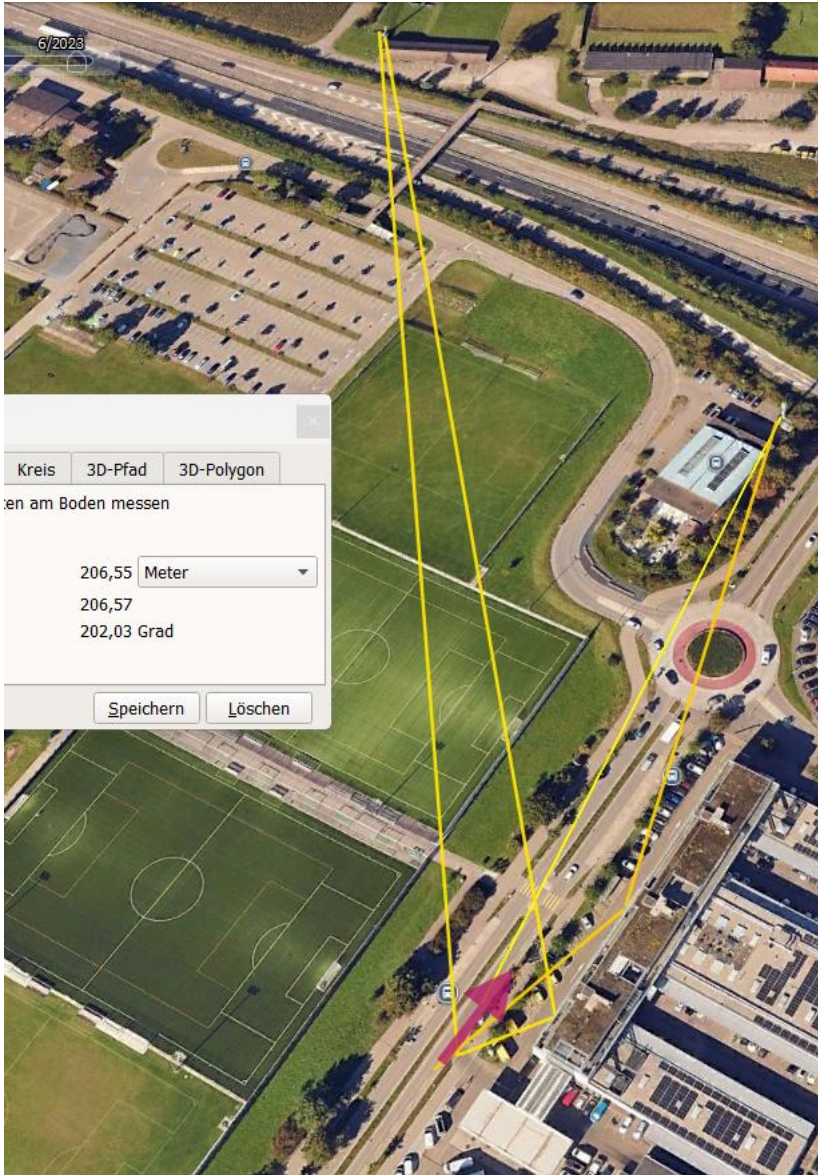


Pfäffikerstrasse 30.1 8610 Uster

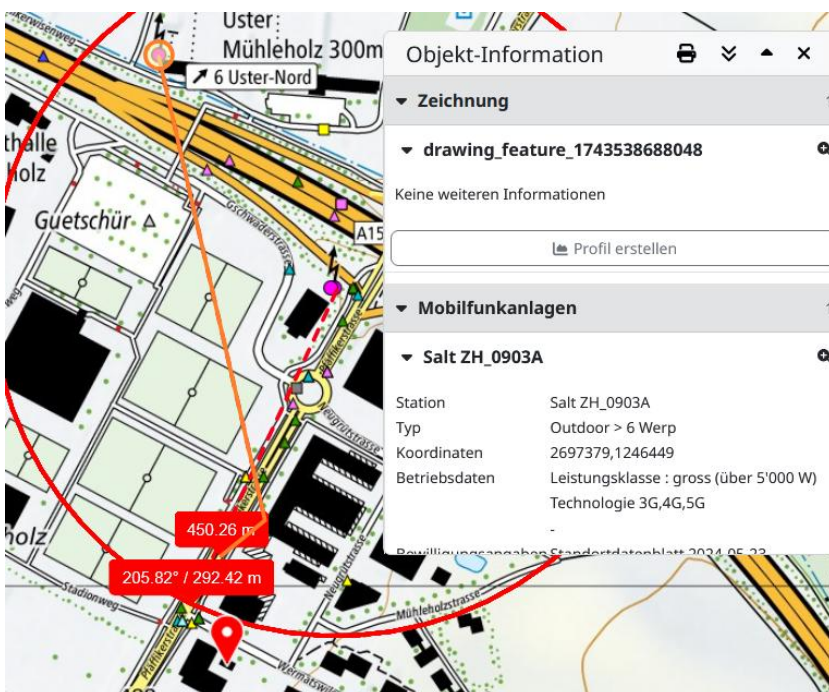
Map view showing Pfäffikerstrasse 30.1 8610 Uster. The map displays building footprints, roads, and signal locations. A red circle highlights a specific location on the map with the text "205.82° 12.242 m".

Objekt-Information

- Sunrise ZH417-3**
 - Station: Sunrise ZH417-3
 - Typ: Outdoor > 6 Werp
 - Koordinaten: 2697528,1246252
 - Betriebsdaten: Leistungsklasse : mittel (bis 5'000 W)
Technologie 3G,4G,5G
Teilweise adaptiver Betrieb
 - Bewilligungsangaben: Standortdatenblatt 2021-06-26
Anlagegrenzwert 5.0 V/m
- Swisscom UMUL**
 - Station: Swisscom UMUL
 - Typ: -
 - Koordinaten: 2697525,1246252
 - Betriebsdaten: Leistungsklasse : mittel (bis 5'000 W)
Technologie 3G,4G,5G
 - Bewilligungsangaben: Standortdatenblatt 2021-06-26



An der Stelle, wo seine Fahrnfähigkeit erstmals manifest wurde, strahlt auch der Salt Sender, ebenso mit Reflexion ein:



Reflexion am langen Haus

Die veraltete Leistungstabelle des BAKOM hat diese Daten nicht, somit Anfrage an NIS.ZH:

Zusatzblatt 1: Angaben zur Antennengruppe 1

Beschreibung der Antennengruppe:

Anzahl Masten: 1

Nr. der Antenne	1STJKE / 1STSUO / 1STX	2STJKE / 2STSUO / 2STX	3STJKE / 3STSUO / 3STX						
Netzbetreiber	Salt	Salt	Salt						
ERP: Sendeleistung (in W)	5130	6380	5970						
Hauptstrahlrichtung: Azimut (in Grad von N)	70°	160°	290°						

In eine Richtung kumulierte Sendeleistung

Höchstbelastete Senderichtung: Azimut (in Grad von N)	
ERP _{90°} : kumulierte Sendeleistung in diese Richtung	

In einen Sektor kumulierte Sendeleistung

Höchstbelasteter 90°-Sektor: Azimut (in Grad von N)	von 70° bis 160°
ERP _{90°} : kumulierte Sendeleistung in diesen Sektor	11510 W

Die Sendeleistungen UMTS liegt im früheren „gross“ Bereich, die von LTE ist gegenüber früher verdoppelt auf 3700 W:

Zusatzblatt 2: Technische Angaben zu den Sendeantennen für Mobilfunk und drahtlose Teilnehmeranschlüsse

Höhenkote 0: 485

Laufnummer #	1	2	3	4	5	6	7	8	9
Nr. der Antenne	1STJKE	2STJKE	3STJKE	1STSUO	2STSUO	3STSUO	1STX	2STX	3STX
Frequenzband (in MHz)	700 - 900	700 - 900	700 - 900	1800 - 2600	1800 - 2600	1800 - 2600	3400	3400	3400
Netzbetreiber	Salt	Salt	Salt	Salt	Salt	Salt	Salt	Salt	Salt
Typenbezeichnung der Antenne	AAU5831_L A	AAU5831_L A	AAU5831_L A	AAU5831_H A	AAU5831_H A	AAU5831_H A	AAU5831_3 400	AAU5831_3 400	AAU5831_3 400
Adaptiver Betrieb mit K _{AA} < 1	Nein	Nein	Nein	Nein	Nein	Nein	Nein	Nein	Nein
Anzahl Sub-Arrays	-	-	-	-	-	-	-	-	-
Distanz (x/y) zum Koordinaten-Nullpunkt (in m)	0.00 / 0.00	0.00 / 0.00	0.00 / 0.00	0.00 / 0.00	0.00 / 0.00	0.00 / 0.00	0.00 / 0.00	0.00 / 0.00	0.00 / 0.00
Höhe der Antenne (z) über Höhenkote 0 (in m)	24.00	24.00	24.00	24.00	24.00	24.00	24.00	24.00	24.00
ERP _s : Sendeleistung (in W)	1650	1880	1800	2750	3700	3370	730	800	800

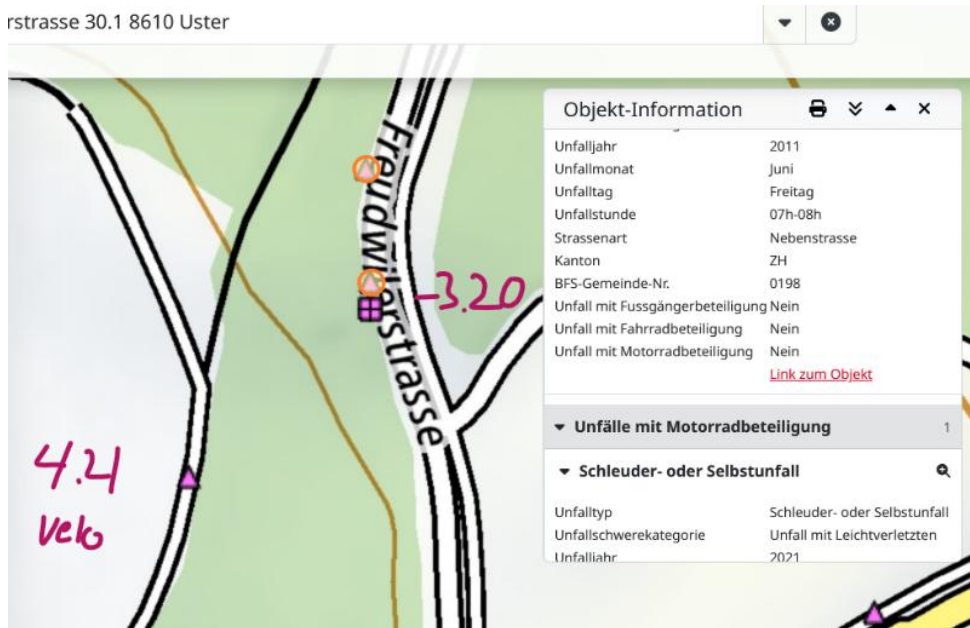
Hauptstrahlrichtung

Azimut (in Grad von N)	70°	160°	290°	70°	160°	290°	70°	160°	290°
Mechanischer Neigungswinkel (down tilt, in Grad von der Horizontalen)	2°	2°	2°	2°	2°	2°	2°	2°	2°
Elektrischer Neigungswinkel (down tilt, in Grad)	-2° - -10°	-2° - -10°	-2° - -7°	-2° - -10°	-2° - -12°	-2° - -7°	-2° - -12°	-2° - -12°	-2° - -7°
Gesamter Neigungswinkel (down tilt, in Grad von der Horizontalen)	0° - -8°	0° - -8°	0° - -5°	0° - -8°	0° - -10°	0° - -5°	0° - -10°	0° - -10°	0° - -5°

Relevant für die Ermittlung des Einspracheperimeters sind die Antennen im Sektor von 70° bis 160°

Diese Senderkombination (in Nordseite Salt: 70°) war mit ursächlich beim tödlichen Motorradfahrersturz vom 15.3.2020 - auf folgender Karte im roten Quadrat eingetragen: https://hansuelistettler.ch/images/unfallanalysen/4650_Uster_15.03.2020.pdf

Strasse 30.1 8610 Uster



Mehrere zeitlich nahe Stürze sind in unmittelbarer Nähe verzeichnet

Wetter trocken – Strahlung

gedämpft

Zum Verständnis der Abläufe bei solchen Unfällen:

Niels Kuster et al. **NFP 57**: http://www.snf.ch/SiteCollectionDocuments/nfp/nfp57/nfp57_synthese_d.pdf
Mobilfunk bewirkt Veränderungen der Hirnströme

Zell-Effekte durch Polarisation <https://www.diagnose-funk.org/aktuelles/artikel-archiv/detail&newsid=1170>

M. Mevissen / D. Schürmann: Manmade Electromagnetic Fields and Oxidative Stress—Biological Effects and Consequences for Health. <https://www.mdpi.com/1422-0067/22/7/3772>

«Der unklare Unfall in der Verkehrsmedizin» (AGU-Seminar 2015) Dr. Ulfert Grimm Fachbereich Verkehrsmedizin Institut für Rechtsmedizin St.Gallen <http://aqu.ch/1.0/pdf/aqu-seminar15.pdf>

«Wirkungen des Mobil- und Kommunikationsfunks» Eine Schriftenreihe der Kompetenzinitiative zum Schutz von Mensch, Umwelt und Demokratie e.V.

<https://www.diagnose-funk.org/publikationen/dokumente-downloads/kompetenzinitiative-broschuerenreihe>

Wirkungen von Elektromog auf Verkehrsunfälle: <https://www.hansuelistettler.ch/elektrosmog/elektrosmog-im-verkehr/studie>

Keine Messung von Sendeleistungen 5G: <https://www.gigaherz.ch/5g-alarmierende-resultate-erster-testmessungen/>

Funktionsweise von 5G-Antennen: "Understanding Massive MIMO in roughly 2 minutes": <https://www.youtube.com/watch?v=XBb481RNqGw>

Visualisierung der 5G-spezifischen Reflexionen, von Ericsson: <https://www.youtube.com/watch?v=yTbUSXJ8M-8>

5G-Adaptiv reagiert auf Kollektiv-Verkehrsmittel: https://www.youtube.com/watch?v=pTKa_cEGvJA
Bellinzona: <https://www.youtube.com/watch?v=ekCtC7vJ7Ew>

Zum Thema Herzrhythmus hat Prof. Magda Havas, Trent University, publiziert: <https://magdahavas.com/electrosmog-exposure/home-environment/new-study-radiation-from-cordless-phone-base-station-affects-the-heart/>
Zusammenfassung im emf-portal: <https://www.emf-portal.org/de/article/18905>

Forschungsstand zu wlan: <https://www.diagnose-funk.org/aktuelles/artikel-archiv/detail&newsid=1943>

Magnetfelder unter Hochspannungsleitungen: <https://www.bfs.de/SharedDocs/Videos/BFS/DE/emf-stromleitung.html>

Erklärende Videos auf youtube: <https://www.youtube.com/channel/UC86uloS8IoowSGOGfpMyrsq>

